

Figure 1

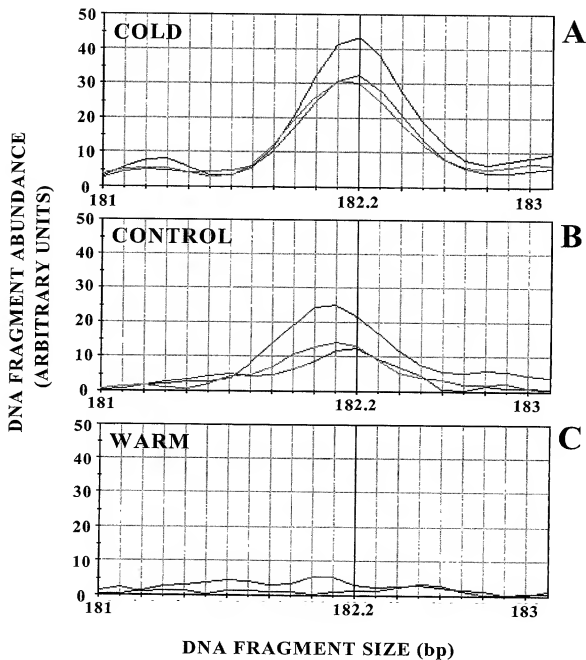


Figure 2

hBFIT1	1	WIONVGNHLRRGLASVFSNRTSRK--SALRAGNDSANADGEGYRNPTVEQ
hBFIT2	1	WIONVGNHLRRGLASVFSNRTSRK--SALRAGNDSANADGEGYRNPTVEQ
mBFIT2	1	WIONVGNHLRRGLASVFSNRTSRK--SALRAGNDSANADGEGYRNPTVEQ
hBFIT1	49	MSQLVLPCHTNORGELSVGOLLKWIOTTAQLSAERHAGCPCVTASMDDIY
hBFIT2	49	MSQLVLPCHTNORGELSVGOLLKWIOTTAQLSAERHAGCPCVTASMDDIY
mBFIT2	51	MSQLVLPCHTNORGELSVGOLLKWIOTTAQLSAERHAGCPCVTASMDDIY
hBFIT1	99	FENTISVGQVVNIKAKVNRAFNSSMEVGIQVASEDLCSKQWNVCKALAT
hBFIT2	99	FENTISVGQVVNIKAKVNRAFNSSMEVGIQVASEDLCSKQWNVCKALAT
mBFIT2	101	FENTISVGQVVNIKAKVNRAFNSSMEVGIQVASEDLCSKQWNVCKALAT
hBFIT1	149	FVARREITVKVLKQITPRTTEEEKMEHSAEERRRRLVYADTIKOLLANG
hBFIT2	149	FVARREITVKVLKQITPRTTEEEKMEHSAEERRRRLVYADTIKOLLANG
mBFIT2	151	FVARREITVKVLKQITPRTTEEEKMEHSAEERRRRLVYADTIKOLLANG
hBFIT1	199	AIOGDLERDCSRMYPAEKTRVESVELVLPFPHANHOGNFTGGQIMAWMEN
hBFIT2	199	AIOGDLERDCSRMYPAEKTRVESVELVLPFPHANHOGNFTGGQIMAWMEN
mBFIT2	201	AIOGDLERDCSRMYPAEKTRVESVELVLPFPHANHOGNFTGGQIMAWMEN
hBFIT1	249	VATIAASRLCRAHPTLKAIEMFHFRGPSQVGDRLVLKAIYNNAFKHSMEV
hBFIT2	249	VATIAASRLCRAHPTLKAIEMFHFRGPSQVGDRLVLKAIYNNAFKHSMEV
mBFIT2	250	VATIAASRLCRAHPTLKAIEMFHFRGPSQVGDRLVLKAIYNNAFKHSMEV
hBFIT1	299	GVCEAYROEAETHRRHINSAFMTFVVLDDDDPQLLPWIRPOPGDGERR
hBFIT2	299	GVCEAYROEAETHRRHINSAFMTFVVLDDDDPQLLPWIRPOPGDGERR
mBFIT2	300	GVCEAYROEAETHRRHINSAFMTFVVLDDDDPQLLPWIRPOPGDGERR
hBFIT1	349	YREASARKKIRLDKRYIVSCCKQTEVPLSVPWDPNSNOVYLSYNNVSSLKWL
hBFIT2	349	YREASARKKIRLDKRYIVSCCKQTEVPLSVPWDPNSNOVYLSYNNVSSLKWL
mBFIT2	350	YREASARKKIRLDKRYIVSCCKQTEVPLSVPWDPNSNOVYLSYNNVSSLKWL
hBFIT1	399	YAKDNWVLSSEISQVRLTYLDDKFLSFHMEMVYHYDAAGAFLLSLDLRG
hBFIT2	399	YAKDNWVLSSEISQVRLTYLDDKFLSFHMEMVYHYDAAGAFLLSLDLRG
mBFIT2	400	YAKDNWVLSSEISQVRLTYLDDKFLSFHMEMVYHYDAAGAFLLSLDLRG
hBFIT1	449	RFWDKHYRSVELVOQVEDDAIYHVTSPALGGHTKPODFVILASRRKPC
hBFIT2	449	RFWDKHYRSVELVOQVEDDAIYHVTSPALGGHTKPODFVILASRRKPC
mBFIT2	449	RFWDKHYRSVELVOQVEDDAIYHVTSPALGGHTKPODFVILASRRKPC
hBFIT1	499	DNGDPYVIALRSVTLPTHRETPEYRRGETLCSGFCLWREGDQLTKCWVR
hBFIT2	499	DNGDPYVIALRSVTLPTHRETPEYRRGETLCSGFCLWREGDQLTKCWVR
mBFIT2	499	DNGDPYVIALRSVTLPTHRETPEYRRGETLCSGFCLWREGDQLTKCWVR
hBFIT1	549	VSLTELVSASGFYSWGLRHSKGRNSDGVNKGAGGHLSTLKAIPVAKIN
hBFIT2	549	VSLTELVSASGFYSWGLRHSKGRNSDGVNKGAGGHLSTLKAIPVAKIN
mBFIT2	549	VSLTELVSASGFYSWGLRHSKGRNSDGVNKGAGGHLSTLKAIPVAKIN
hBFIT1	599	SRYGLQDT

Figure 3

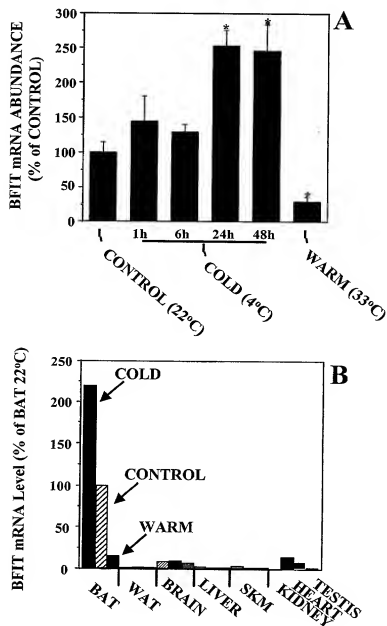


Figure 4

BFIT mRNA ABUNDANCE in BAT

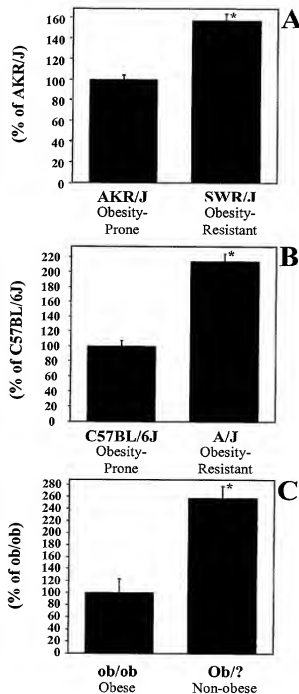
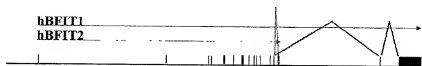


Figure 5



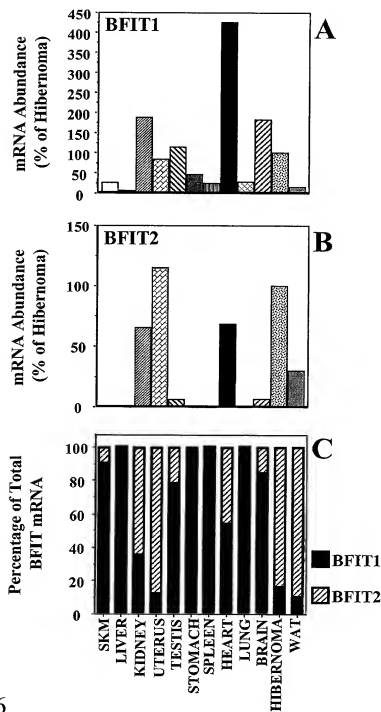


Figure 6

Figure 7

